

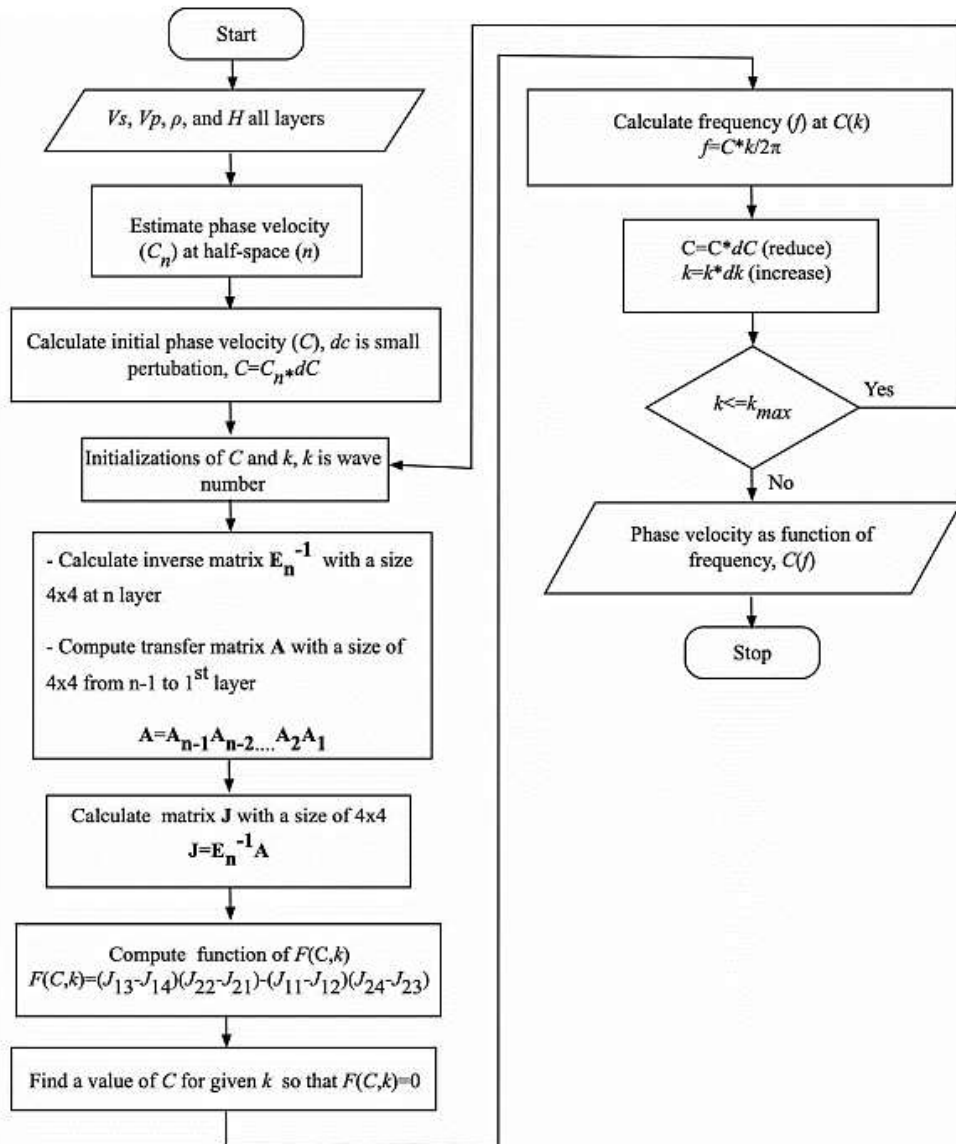
DAFTAR PUSTAKA

- Arifuddin, A. M. (2021). Kecepatan Gelombang Geser (Vs) Dan Ketebalan Sedimen (H) Di Kabupaten Klaten Dari Data Mikrotremor. *Teknisia*, 52-60.
- Arimuko A., Santoso E., dan Sunardi, B. (2019). *Investigasi Kondisi Wilayah Menggunakan Studi Microtremor dan Inversi Kurva Elips dari Perbandingan Spektral Horisontal dan Vertikal (HVSR) di Sleman, Yogyakarta*. Prosiding Seminar Nasional Bumi dan Atmosfer.
- Cristanty, I. N. (2011). Slopes Stability Analysis Based On Microzonation In Bumiaji District, Batu Malang. Surabaya: Final Project Institut Teknologi Sepuluh Nopember.
- Dal Moro, G., 2014. *Surface Wave Analysis for Near Surface Applications*. Elsevier Inc.
- Dal Moro, G., Pipan. M., Gabrielli, P., 2007. *Rayleigh Wave Dispersion Curve Inversion Via Genetic Algorithms and Marginal Posterior Probability Density Estimation*. Jurnal Appl. Geophys. 61, 39-55.
- Das, B. M., & Ramana, G. V. (2010). *Principles of Soil Dynamics (Second Edi)*. Cengage Learning.
- Foti, S., Lai, C. G., Rix, G. J., & Strobbia, C. (2014). *Surface wave methods for near-surface site characterization*. CRC press.
- Giancoli, D. C., Yuhilda Hanum, Irwan Arifin, translator: Hilarius Wibi Hardani, Sylvester L., Simarmata. *Fisika Jilid 2*. Editor (Erlangga, 2001).
- Grandis, H., (2009). Pengantar Pemodelan Inversi Geofisika. Himpunan Ahli Geofisika Indonesia (HAGI), Jakarta.
- Haerudin, N. H., ALAMI, F., & Rustadi, R. (2019). Mikroseismik, Mikrotremor dan Microearthquake dalam Ilmu Kebumian.
- Hartantyo, E. (2004). *Metode Seismik Bias dan Pantul*. Universitas Gajah Mada.
- Hartantyo, E. D. (2010). Analysis On MASW Near And Far Offset At High Vs Velocity Limestone. *International Conferences Of HAGI-SEG Joint Convention*. Bali: HAGI-SEG.
- Herak, M. (2008). Model HVSR—A Matlab® tool to model horizontal-to-vertical spectral ratio of ambient noise. *Computers & Geosciences*, 34(11), 1514-1526.
- Ibrahim, G., & Subardjo. (2005). *Pengetahuan Seismologi*. Jakarta: Badan Meteorologi dan Geofisika.
- Kearey, P., Brooks, M., & Hill, I. (2002). *An Introduction to Geophysical Exploration (3rd ed.)*. London: Wiley-Blackwell.

- Kitsunezaki, C., Goto, N., Kobayashi, Y., Ikawa, T., Horike, M., Saito, T., Kurota, T., Yamane, K., & Okuzumi, K. (1990). *Estimation of P- and S-wave velocities in deep soil deposits for evaluating ground vibrations in earthquake*. Journal of Japan Society for Natural Disaster Science, 9(3), 1-17.
- Lowrie W., 2007. *Fundamental of Geophysics, 2 Edition*. Ed. Cmbridge University Prss, Cambridge : New York.
- Maemunah, M. (2018). *Analisis Daya Dukung Tanah Pada Pondasi Jembatan Di Desa Lembar Kecamatan Lembar (NTB) Menggunakan Metode Seismik Refraksi* (Doctoral dissertation, Universitas Mataram).
- Mayne, P. W., & Rix, G. J. (1995). Correlations between shear wave velocity and cone tip resistance in natural clays. *Soils and foundations*, 35(2), 107-110.
- Nakamura, Y., (2000). Real Time Information Systems for Seismic Hazards Mitigation. JAPAN: Quarterly Report of RTRI.
- Okada, H., & Suto, K. (2003). The microtremor survey method. *Society of Exploration Geophysicists*.
- Park, C. B., Miller, R. D., Rydén, N., Xia, J., & Ivanov, J. (2005). Combined use of active and passive surface waves. *Journal of Environmental & Engineering Geophysics*, 10(3), 323-334.
- Park, C. B., Miller, R. D., & Xia, J. (1999). Multichannel Analysis of Surface Waves. *Geophysics*, 64(3), 800–808.
- Park, C. B., Miller, R. D., & Xia, J. (1998) *Imaging Dispersion Curves of Surface Waves On Multi-Channel Record*. 1998 SEG Annual Meeting.
- Pramatadie, A. M., Yamanaka, H., dan Chimoto, K. (2018). Determination of Shallow S-Wave Velocity Profile Using Microtremor Horizontal to Vertical Spectral Ratio and Surface S-Wave Velocity With Assumption of Linear Velocity Increase. In The 13th SEGJ International Symposium, Tokyo, Japan, 12-14 November 2019. (pp. 483-486). Society of Exploration Geophysicist and Society of Exploration Geophysicist of Japan.
- Rusydy, I., Jamaluddin, K., Fatimah, E., Syafrizal, & Andika, F. (2016). Studi Awal: Analisa Kecepatan Gelombang Geser (Vs) Pada Cekungan Takengon Dalam Upaya Mitigasi Gempa Bumi. *Jurnal Teknik Sipil*, 6, 1-12.
- Rosyidi, S. A. P. (2015). Pemetaan Daya Dukung Tanah Dan Diskontinuitas Struktur Tanah Dasar Menggunakan Metode Multi Channel Analysis of Surface Waves (MASW). *Seminar Nasional Teknik Sipil V*. Tahun, 2004, 161–169.

- Saifuddin. (2019). Uncertainly in Shallow S-Wave Velocity Model From Surface-wave Inversion using The Markov-chain Monte Carlo Method For Estimation of Variability in Soil Amplification. [Disertasi Doktoral, Tokyo Institute of Technology]. Tokyo Tech Research Repository. <https://t2r2.star.titech.ac.jp/rrws/file/CTT100846585/ATD100000413/>
- Scherbaum, F., Hinzen, K. G., & Ohrnberger, M. (2003). *Determination of shallow shear wave velocity profiles in the Cologne, Germany area using ambient vibrations*. Geophysical Journal International, 152(3), 597-612.
- SESAME. (2004). *Site Effects Assessment Using Ambient Excitations*. Research General Directorate Project No. EVG1-CT-2000- 00026
- SESAME. Report of the WP04 H/V Technique : Empirical Evaluation.
- Shearer, P. M. (2009). *Introduction To Seismology 2nd Edition*. New York: Cambridge University Press.
- Sholihan, Ahmad. 2010. *Analisis Dispersi Gelombang Rayleigh Struktur Geologi Bawah Permukaan Studi Kasus: Daerah Pasir Putih Dalegan Gresik, Surabaya* : Jurusan Fisika FMIPA.
- Telford, W. M., Geldart, L. P., Sheriff, R. E., & Keys, D. A. (1990). *Applied Geophysics (2nd ed.)*. Cambridge University Press.
- Thompson, G. R., & Turk, J. (1997). *Introduction To Physical Geology*. Brooks Cole.
- Wang, S. Y., Shi, Y., Jiang, W. P., Yao, E. L., & Miao, Y. (2018). *Estimating Site Fundamental Period From Shear-Wave Velocity Profile*. Bulletin of the Seismological Society of America, 108(6), 3431–3445.
- Xia, J., Miller, R. D., Park, C. B., Harris, J. B., & Hunter, J. A. (2000). Comparing Shear-wave Velocity Profiles From MASW Technique With Borehole Measurements In Unconsolidated Sediments Of The Fraser River Delta. *Journal Environment Engineers Geophysics*, 848-870.

Lampiran 1. Program Workflow



Gambar 13. Prosedur Komputasi Pemodelan Kedepan dalam Kurva Dispersi Kecepatan Fase untuk Lapisan Berlapis. Sumber : Saifuddin, 2019.

Lampiran 2. Model Teoritis Sintetik

1. Profil dua lapisan dengan kontras kecepatan tinggi

Vp	Vs	ρ	H
1512 m/s	100 m/s	2.0 kg/m ³	0 m
2178 m/s	500 m/s	2.2 kg/m ³	20 m

2. Profil tiga lapisan dengan kecepatan yang meningkat seiring kedalaman

Vp	Vs	ρ	H
1512 m/s	100 m/s	2.0 kg/m ³	10 m
2178 m/s	220 m/s	2.2 kg/m ³	20 m
1820 m/s	500 m/s	2.4 kg/m ³	0 m

3. Profil tiga lapisan yang mengandung lapisan kedua yang tebal

Vp	Vs	ρ	H
1512 m/s	100 m/s	2.0 kg/m ³	10 m
2178 m/s	220 m/s	2.2 kg/m ³	100 m
1820 m/s	500 m/s	2.4 kg/m ³	0

4. Profil tiga lapisan dengan inversi kecepatan pada lapisan kedua yang lunak

Vp	Vs	ρ	H
1512 m/s	100 m/s	2.0 kg/m ³	0 m
2178 m/s	500 m/s	2.2 kg/m ³	20 m

5. Profil yang diwakili oleh dua gradien kecepatan linear (yaitu, model bilinear)

V₁	V_{mid}	b₁	b₂	Z_{mid}	Z_B	ρ	H
100 m/s	300 m/s	10 s ⁻¹	4 s ⁻¹	20 m	70 m	1.5 kg/m ³	0.2 m

6. Profil dengan gradien kecepatan *power-law*

$$Vs_{(z)} = V_1 (1+z)^{b_{pow}}$$

$$b_{pow} = 0.41$$

7. Profil dengan gradien kecepatan eksponensial

$$Vs_{(z)} = V_1 \exp(bz)$$

$$b = 0.032$$

Lampiran 3. Forward Modelling Haskell 1958

Prosedur komputasi yang digunakan untuk mengestimasi kecepatan fase teoritis adalah dengan mencari nilai nol dari persamaan karakteristik ($F(C,k)$). Hal ini bergantung pada kecepatan fase, bilangan gelombang dan konstanta elastis (α_i , β_i , ρ_i , dan H_i) sebagaimana persamaan berikut.

$$F(C,k) = (J_{13} - J_{14}) (J_{22} - J_{21}) - (J_{11} - J_{12}) (J_{24} - J_{34})$$

Elemen dari matriks \mathbf{J} dengan ukuran 4×4 dibentuk dari matriks transfer ukuran 4×4 (\mathbf{A}_i) dari lapisan $n-1$ hingga lapisan pertama kemudian dikalikan dengan matriks pada lapisan *Half-space* dengan ukuran 4×4 (\mathbf{E}_n^{-1}). Hubungan matriks \mathbf{J} dengan matriks \mathbf{A} dan \mathbf{E}_n^{-1} dinyatakan oleh:

$$\mathbf{J} = \mathbf{E}_n^{-1} \mathbf{A}_{n-1} \mathbf{A}_{n-2} \dots \mathbf{A}_2 \mathbf{A}_1$$

Dimana invers matriks pada lapisan *Half-space* adalah sebagai berikut.

$$\mathbf{A}_n = \begin{bmatrix} \gamma_n \cos P_n - (\gamma_n - 1) \cos Q_n & -[(\gamma_n r_{\alpha n}^{-1} \sin P_n + (\gamma_n - 1) r_{\beta n}^{-1} \sin Q_n)] & \rho_n C^2 \gamma_n (\gamma_n - 1) (\cos P_n - \cos Q_n) & i \rho_n C^2 \gamma_n^2 r_{\alpha n}^{-1} \sin P_n + \gamma_n^2 r_{\beta n}^{-1} \sin Q_n \\ i[(\gamma_n - 1) r_{\alpha n}^{-1} \sin P_n + \gamma_n r_{\beta n}^{-1} \sin Q_n] & -(\gamma_n - 1) \cos P_n + \gamma_n \cos Q_n & i \rho_n C^2 (\gamma_n - 1) r_{\alpha n}^{-1} \sin P_n - \gamma_n^2 r_{\beta n}^{-1} \sin Q_n & -(\rho_n C^2)^{-1} (\cos P_n - \cos Q_n) \\ -(\rho_n C^2)^{-1} (\cos P_n - \cos Q_n) & i(\rho_n C^2)^{-1} (r_{\alpha n}^{-1} \cos P_n - r_{\beta n}^{-1} \sin Q_n) & -(\gamma_n - 1) \cos P_n + \gamma_n \cos Q_n & i[(\gamma_n - 1) r_{\alpha n}^{-1} \sin P_n + \gamma_n r_{\beta n}^{-1} \sin Q_n] \\ i(\rho_n C^2)^{-1} (r_{\alpha n}^{-1} \cos P_n - r_{\beta n}^{-1} \cos Q_n) & -(\rho_n C^2)^{-1} (\cos P_n - \cos Q_n) & i[(\gamma_n - 1) r_{\alpha n}^{-1} \sin P_n + \gamma_n r_{\beta n}^{-1} \sin Q_n] & \gamma_n \cos P_n - (\gamma_n - 1) \cos Q_n \end{bmatrix}$$

dan transfer matriks pada lapisan m adalah :

$$\mathbf{E}_n^{-1} = \begin{bmatrix} -2(\frac{\alpha_m}{\beta_m})^2 & 0 & (\rho_m \alpha_m)^{-1} & 0 \\ 0 & C^2 (\gamma_m - 1) / \alpha_m r_{\alpha m} & 0 & (\rho_m \alpha_m^2 r_{\alpha m})^{-1} \\ (\gamma_m - 1) / \gamma_m r_{\beta m} & 0 & -(\rho_m C^2 \gamma_m r_{\beta m})^{-1} & 0 \\ 0 & 1 & 0 & (\rho_m C^2 \gamma_m)^{-1} \end{bmatrix}$$

dimana,

$$\gamma_m = 2 \left(\frac{\beta_m}{C} \right)^2$$

$$r_{\alpha m} = \begin{cases} +\sqrt{(C/\alpha_m)^2 - 1} & C > \alpha_m \\ -i\sqrt{1 - (C/\alpha_m)^2} & C < \alpha_m \end{cases}$$

$$r_{\beta m} = \begin{cases} +\sqrt{(C/\beta_m)^2 - 1} & C > \beta_m \\ -i\sqrt{1 - (C/\beta_m)^2} & C < \beta_m \end{cases}$$

$$P_m = k r_{\alpha m} H_m$$

$$Q_m = k r_{\beta m} H_m$$

Untuk mendapatkan $C(k)$ atau $C(f)$ yang diberikan oleh bilangan gelombang atau frekuensi dari fungsi $F(C,k) \approx 0$, initial fase kecepatan dan initial bilangan gelombang diberikan oleh iterasi pertama. Sebagai contoh, initial fase kecepatan diperoleh dari akar C_n pada persamaan berikut dari fase kecepatan terkait kecepatan gelombang P (α_n) dan kecepatan gelombang S (β_n) pada model setengah ruang sebagai berikut.

$$\left(\frac{C_n}{\beta_n}\right)^6 - 8\left(\frac{C_n}{\beta_n}\right)^4 + 8\left(\frac{C_n}{\beta_n}\right)^2 \left[1 + 2\left(1 - \frac{\beta_n^2}{\alpha_n^2}\right)\right] - 16\left(1 - \frac{\beta_n^2}{\alpha_n^2}\right) = 0$$

Evaluasi berulang dilakukan untuk bilangan gelombang yang berbeda sehingga dapat diperoleh kecepatan fase untuk frekuensi yang berbeda ($C(f)$). Digunakan juga prosedur komputasi ini untuk menghasilkan kecepatan fase sintetik dengan asumsi mode fundamental (Saifuddin, 2019).